

## 황색포도상구균에서 테트라사이클린 내성을 나타내는 플라스미드의 동정

김기현 · 김종명 · 문경호<sup>#</sup>

경성대학교 약학대학

(Received March 28, 1992)

## Characterization of Tetracycline Resistant Plasmid in *Staphylococcus aureus* by Restriction Enzyme Mapping

Ki Hyun Kim, Jong Myung Kim and Kyung Ho Moon<sup>#</sup>

College of Pharmacy, Kyungsung University, Daeyun-dong 110-1, Nam-ku, Pusan 608-736, Korea

**Abstract**—The clinical isolate *Staphylococcus aureus* SA8 was resistant to tetracycline(Tc) and harboured a plasmid pKH1(24.82 kb). pKH1 was shown by curing and by transformation to specify resistance to Tc. The cleavage map of a pKH1 was determined by restriction enzyme mapping techniques. Cleavage map is given for *Bgl*II, *Eco*RI, *Hpa*II, *Pvu*II and *Sall*. Restriction endonuclease *Bam*HI, *Bgl*I, *Bst*EII, *Hpa*I, *Pst*I, and *Xba*I have no sites on this plasmid. *Hae*III, *Xba*I, and *Hind*III have 5, 6, 14 sites, respectively.

**Keywords** □ *Staphylococcus aureus*, curing, transformation, tetracycline resistance plasmid, restriction map.

테트라사이클린(이하 Tc) 계열의 항생제들은 proton motive force에 의하여 세균의 세포질막안으로 수송되어<sup>1)</sup> 30S ribosomal subunit와 결합하며 이 결합은 aminoacyl-transfer RNA의 ribosome 수용체와의 결합을 입체적으로 방해한다. 이 결과로 인한 단백질 합성의 방해가 정균작용을 나타낸다고 알려져 있다.<sup>2)</sup>

병원성 세균인 황색포도상구균(*Staphylococcus aureus*)의 경우 Tc 내성균이 발견되었으며 내성기전은 세포안으로의 수송기능 저하<sup>3,4)</sup>와 특별한 efflux mechanism의 존재로 설명된다.<sup>5)</sup> 이러한 내성에는 서로 구조가 유사한 몇 가지의 플라스미드들이 관련되어 있는데 모두 Inc3 incompatibility계열에 속해 있다.<sup>6)</sup> 위의 플라스미드들은 크기가 4.0~4.5 kb이며 세포당 copy number가 20~50 개인 multicopy 플라스미드이다.<sup>7)</sup> 세균의 염색체에 의한 Tc 내성도 발견되었으

며<sup>8)</sup> 이러한 경우 염색체에 병합되어 있는 플라스미드는 Inc3계열의 플라스미드와 상당한 homology가 있음이 밝혀졌다.<sup>9)</sup>

한편 저자 등은 부산 지방에서 분리한 항생제 내성 황색포도상구균<sup>10)</sup>의 플라스미드를 조사하였으며 그 중에서 Tc 내성 균주인 *S. aureus* SA8에 하나의 플라스미드가 있음을 확인하고 curing 및 형질전환 실험을 통하여 그 플라스미드가 Tc 내성에 관련되어 있음을 알았으며, 또한 여러가지 제한 효소를 사용하여 restriction map을 작성하였으므로 이에 보고하는 바이다.

### 실험방법

**실험균주**—형질 전환을 위한 수여 균주로는 restriction system이 결손된 *S. aureus* RN4220(NCTC8325의 mutant)을 Dyke(Oxford Univ., U.K.)로부터 분양 받아 사용하였으며<sup>11)</sup> Tc 내성 균주로는 본 실험실에

<sup>#</sup>본 논문에 관한 문의는 이 저자에게로.

서 임상 환자로부터 분리한 *S. aureus* SA8<sup>10)</sup>을 사용하였다.

**제한효소**—Boehringer Mannheim사에서 구입하여 사용하였다.

**플라스미드 분리**—Alkaline lysis method<sup>12)</sup>를 기본으로 하였으며 세포벽 분해 시에 lysozyme(10 mg/ml) 외에 lysostaphin을 최종 농도가 250 µg/ml 되도록 첨가하여 사용하였다.

**Curing**—여러 농도의 EtBr을 함유한 LB 배지에 *S. aureus* SA8을 접종하고 48시간 배양한 후 Tc가 함유되어 있지 않은 LB agar에 도말하여 colony를 얻고 이 colony들을 Tc(16 µg/ml)함유 LB agar에 다시 접종하여 curing여부를 확인하였다.

**형질전환**—Chang and Cohen의 방법<sup>13)</sup>을 변형하여 사용하였다. *S. aureus* RN4220을 10 ml LB에 접종하고 하룻밤 동안 배양한 다음 원심분리(2분, 10000 rpm)하여 얻은 pellet을 lysozyme(10 mg/ml)과 lysostaphin(150 µg/ml)이 함유된 HBM(0.7 M sucrose, 0.02 M maleic acid, 0.02 M MgCl<sub>2</sub>, 60 g/L TSB(Tryptic soy broth, pH 7.5) 10 ml에 혼탁시키고 37°C에서 2~3시간 방치하였다. 원심분리(5분, 5000 rpm)하여 cell debris를 제거하고, 상등액을 다시 원심분리(10분, 4°C, 16000 rpm)하여 protoplast pellet을 얻었다. 이 pellet을 200 µl HBM에 혼탁시키고 20 µl 2 × HB, 20 µl DNA(1~10 µg), 1.8 ml 40% PEG 6000을 각각 가하여 상온에서 2분 동안 방치하였다. 10 ml HBM을 가하여 PEG 용액을 희석시키고 원심분리(30분, 4°C, 19000 rpm)하여 pellet을 얻었다. 이 pellet을 0.4 ml HBM에 혼탁시키고 100 µl 씩 DM3 재생 배지에 도말하여 37°C에서 3시간 동안 preincubation시켰다. Tc(16 µg/ml)를 포함하는 HB/TSB(2 × TSA(Tryptic soy broth agar)와 2 × HB를 동량 섞은 배지) 5 ml을 preincubation 시킨 배지 위에 부어 굳히고 37°C에서 2~3일간 배양하였다. 성장한 colony를 Tc(16 µg/ml)가 포함된 LB 배지에 접종하여 배양한 다음 플라스미드를 분리 확인하였다.

**제한효소처리 및 전기영동**—*Bam*HI, *Bgl*II, *Bgl*III, *Bst*EII, *Eco*RI, *Hae*III, *Hind*III, *Hpa*I, *Hpa*II, *Pst*I, *Pvu*II, *Sal*I, *Xba*I, *Xho*I을 사용하여 플라스미드 digestion을 실시하였다. 제한효소 mapping을 위해서는 double digestion을 실시하였다. DNA 조각들의 크기는 0.5~1.0% agarose gel electrophoresis를 하여



Fig. 1—Agarose gel electrophoresis of rapidly isolated *S. aureus* plasmid. Lane 1, *S. aureus* RN4220; lane 2, *S. aureus* SA8; lane 3, *S. aureus* KH1; lane 4, a derivative of *S. aureus* SA8 cured of tetracycline resistance.

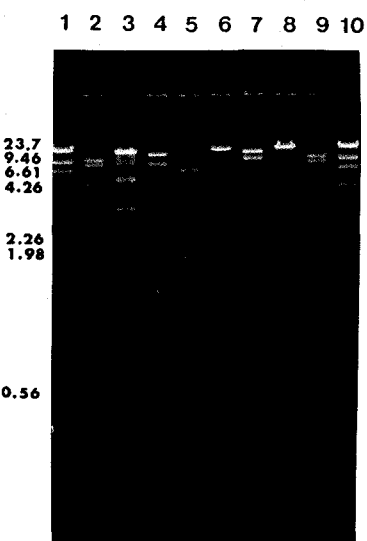


Fig. 2—Agarose gel electrophoresis of pKHI cleaved with the restriction endonucleases. Lane 2, *Bgl*II; lane 3, *Eco*RI; lane 4, *Hae*III; lane 5, *Hind*III; lane 6, *Hpa*II; lane 7, *Pvu*II; lane 8, *Sal*I; lane 9, *Xba*I; lane 1 and 10, lambda DNA cleaved with *Hind*III; fragment sizes(in kb) are shown at left of gel.

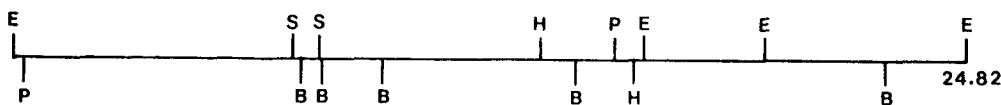


Fig. 3—Restriction endonuclease map of  $p$ KH1. Restriction sites are indicated by B( $Bgl$ II), E( $Eco$ RI), H( $Hpa$ II), P( $Pvu$ II), and S( $Sal$ I). Map coordinate is expressed in kilobases.

결정하였으며 이때 전압은 2~5 V/cm로 하였고 완충 용액은 TBE(pH 7.5~7.8, 89 mM Tris-borate, 89 mM boric acid, 2 mM EDTA)를 사용하였다. EtBr로 염색하여 관찰하고 polaloid type 667 film을 사용하여 사진을 찍었다. 전기 영동 시에 molecular marker로는  $Hind$ III-digested  $\lambda$  DNA,  $Eco$ RI-digested  $\lambda$  DNA,  $Hind$ III/ $Eco$ RI-double digested  $\lambda$  DNA를 사용하였다.

### 결 과

**플라스미드**— $Tc$  내성을 가지고 있는 *S. aureus* SA8로부터 alkaline lysis method에 의하여 플라스미드를 분리하여 전기영동한 결과가 Fig. 1에 나와 있다. *S. aureus* SA8은 한개의 플라스미드를 가지고 있음이 확인되었으며 이 플라스미드를  $p$ KH1이라 명명하였다.

**Curing**—EtBr $\circ$  15  $\mu$ g/ml 들어 있는 LB 배지에서 성장한 *S. aureus* 배양액을  $Tc$ 가 함유되어 있지 않은 LB agar에 도말한 후 37°C에서 배양하여 colony를 얻었다. 이 colony들을  $Tc$ 가 16  $\mu$ g/ml 농도로 함유된 LB agar에 다시 접종하여 배양한 다음 성장하지 못한 colony들을 curing된 것으로 생각하였다. 이 colony들의 플라스미드를 분리한 결과 Fig. 1와 같이 *S. aureus* SA8의 플라스미드가 없어진 것을 확인하였다. 또한 curing된 균주의 MIC는 0.5  $\mu$ g/ml 이하로 나타났다.

**형질전환**—*S. aureus* SA8에서 분리한 플라스미드를 가지고 플라스미드도 없고 내성도 가지고 있지 않은 *S. aureus* RN4220을 형질 전환시켰다.  $Tc$ 를 16  $\mu$ g/ml 함유한 배지에서 성장한 colony에서 플라스미드를 분리하여 전기영동한 결과가 Fig. 1에 나와 있다. *S. aureus* RN4220에서 볼 수 없었던 플라스미드를 확인 할 수 있었으며 *S. aureus* SA8의 플라스미드와도 동일하였다. 이 *S. aureus* RN4220 형질전환체를 *S. aureus* KH1이라 명명하였다.

**제한효소의 처리**— $p$ KH1을  $Bgl$ II,  $Eco$ RI,  $Hae$ III,

Table I—Experimental values(in kb) of DNA fragments produced when subjecting  $p$ KH1 DNA to various restriction endonuclease

$Bgl$ II	$Eco$ RI	$Hpa$ II	$Pvu$ II	$Sal$ I
9.56	16.52	22.34	15.34	24.18
8.00	5.20	2.48	9.48	0.64
5.13	3.10			
1.51				
0.62				
		24.82		

$Hind$ III,  $Hpa$ II,  $Pvu$ II,  $Sal$ I,  $Xba$ I으로 처리한 후 전기영동한 것이 Fig. 2에 나와 있다.  $Bgl$ II와  $Hae$ III의 경우 5개의 제한효소부위를 가지고 있었으며  $Eco$ RI은 3개,  $Hpa$ II와  $Pvu$ II는 2개,  $Sal$ I은 1개,  $Xba$ I은 6개의 부위를, 그리고  $Hind$ III는 적어도 14개 부위를 가지고 있었다. 그 밖에  $Bam$ HI,  $Bgl$ II,  $Bst$ EII,  $Hpa$ I, 그리고  $Xba$ I은 제한효소부위가 없었다(자료사진 생략).

각 조각들의 크기는  $\lambda$  DNA를  $Hind$ III로 처리한 것의 조각들의 크기와 비교하여 결정하였으며 그 결과는 Table I에 나와 있다. 위의 제한효소 중에서  $Bgl$ II,  $Eco$ RI,  $Hpa$ II,  $Pvu$ II,  $Sal$ I의 restriction map을 작성하기 위하여 여러 조합의 double digestion을 실시하였으며 큰 조각들의 크기를 결정하기 위하여는 0.5% agarose gel electrophoresis를, 작은 조각들의 크기를 결정하기 위하여는 1.0% agarose gel electrophoresis를 하였다. 그 결과 얻어진 값들이 Table II에 나와 있으며  $p$ KH1의 크기는 약 24.82 kb로 계산되었다.

### 고 칠

테트라사이클린( $Tc$ ) 내성을 가지고 있는 *S. aureus* SA8의 플라스미드  $p$ KH1은 curing과 형질전환 실험을 통하여 테트라사이클린 내성을 매개함을 확인하였다. curing 결과  $Tc$ 에 대한 MIC 값이 64  $\mu$ g/ml에서 0.5

**Table II**—Experimental values(in kb) of DNA fragments produced by double digestion of  $\lambda$ KH1 plasmid

$Bgl$ II+EcoRI	$Bgl$ II+ $Pvu$ II	$Bgl$ II+Sall	EcoRI+ $Hpa$ II	EcoRI+ $Pvu$ II	EcoRI+Sall	$Pvu$ II+ $Hpa$ II	Sall+ $Hpa$ II	$Pvu$ II+Sall
7.51	7.16	9.40	13.79	15.34	8.53	13.44	15.90	9.48
5.13	7.08	8.00	5.20	5.20	7.35	8.90	5.80	7.70
3.15	5.13	5.13	3.10	3.10	5.20	1.90	2.48	7.00
3.10	2.40	1.51	2.48	0.83	3.10	0.58	0.64	0.64
2.05	1.51	0.48	0.25	0.35	0.64			
1.75	0.92	0.16						
1.51	0.62	0.14						
0.62								
24.82								

$\mu\text{g}/\text{ml}$  이하로 떨어졌으며 형질전환 결과 Tc 내성이 없던 *S. aureus* RN4220이 내성을 갖게 되었다.  $\lambda$ KH1 을 여러가지 제한효소로 처리하고 전기영동하여 크기를 구해본 결과 약 24.82 kb로 나타났다. 일반적으로 Tc 내성을 매개하는 플라스미드들은 Inc3 incompatibility group에 속해있으며 크기가 4.0~4.5 kb인 것으로 알려져 있는데<sup>6,7)</sup> 이에 비하여 보면  $\lambda$ KH1은 다른 나라에서 발견되지 않은 플라스미드라고 생각되며 현재 Tc 내성 유전자를 찾기 위하여 cloning<sup>8)</sup>이 진행 중이므로 cloning 후 sequencing<sup>9)</sup>이 완결되면 더욱 더 정확한 비교가 이루어 질 것으로 사료된다.

## 문 헌

- McMurtry, L.M., Cullinane, J.C., Petrucci, R.E. Jr. and Levy, S.B.: Active uptake of tetracycline by membrane vesicles from susceptible *Escherichia coli*. *Antimicrob. Agents Chemother.*, **20**, 307-313 (1981).
- Levy, S.B.: *Antimicrobial Drug Resistance*, Academic press, Inc., Orlando, p.191-240 (1984).
- Kuck, N.A. and Forbes, M.: Uptake of minocycline and tetracycline by tetracycline-susceptible and -resistant bacteria. *Antimicrob. Agents Chemother.*, **3**, 662-664 (1973).
- Sompolinsky, D., Zaidenzaig, Y., Zeigler-Schlomowitz, R. and Abramoda, N.: Mechanism of tetracycline resistance in *S. aureus*. *J. Gen. Microbiol.*, **62**, 351-362 (1970).
- McMurtry, L.M., Petrucci, R.E. Jr. and Levy, S.B.: Active efflux of tetracycline encoded by four genetically different tetracycline resistance determinants in *Escherichia coli*. *Proc. Natl. Acad. Sci., USA*, **77**, 3974-3977 (1980).

- Iordanescu, S., Surdeanu, M., Della Latta, P. and Novick, R.: Incompatibility and molecular relationships between small staphylococcal plasmids carrying the same resistance marker. *Plasmid*, **1**, 468-479 (1978).
- Novick, R.P., Sanchez-Rivas, C., Gruss, A. and Edelmañ, I.: Involvement of the cell envelope in plasmid maintenance: plasmid curing during the regeneration of protoplasts. *Plasmid*, **3**, 348-358 (1980).
- Kayser, F.H., Wuest, J. and Corrodi, P.: Transduction and elimination of resistance determinants in methicillin-resistant *Staphylococcus aureus*. *Antimicrob. Agents Chemother.*, **2**, 217-223 (1972).
- Gillespie, M.T., May, J.W. and Skurray, R.A.: Detection of an integrated tetracycline-resistance plasmid in the chromosome of methicillin resistant *Staphylococcus aureus*. *J. Gen. Microbiol.*, **132**, 1723-1728 (1986).
- 강재선, 문경호 : 황색포도상구균의 항생제 내성 양상. *약학회지* **34**, 122 (1990).
- Kreiswirth, b., Lofdahl, S., Bethly, M., O'Reilly, M. and Schlievert, P.: The toxic shock syndrome exotoxin structural gene is not detectably transmitted by prophage. *Nature*, **305**, 709-712 (1983).
- Maniatis, T., Fritsch, E.F. and Sambrook, J.: *Molecular cloning*. Cold Spring Haber Lab. 368 (1982).
- Chang, S. and Cohen, S.N.: High frequency transformation of *Bacillus subtilis* protoplasts by plasmid DNA. *Mol. Gen. Genet.*, **168**, 111-115 (1979).